



ACTUALIZACIÓN DEL CLIMA ESTACIONAL GLOBAL

TRIMESTRE: octubre-noviembre-diciembre 2020

Traducción al español por CIIFEN

Publicado: 22 de septiembre de 2020



Canada



HYDROMETEOROLOGICAL
CENTRE OF RUSSIA



Resumen

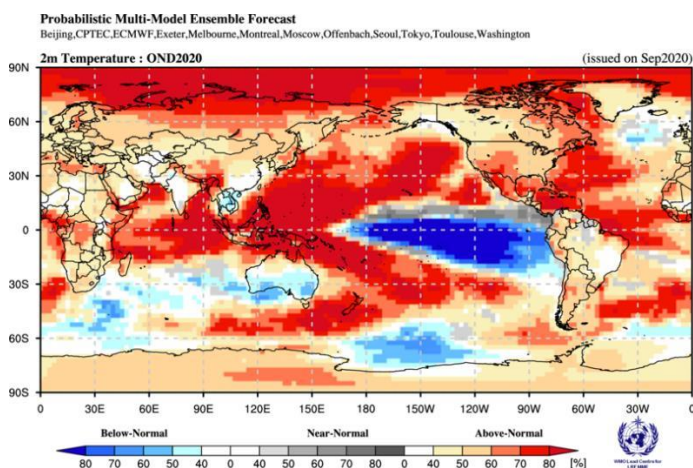
Las anomalías de Temperaturas Superficiales del Mar (TSM) observadas en el Pacífico tropical centro oriental estuvieron en condiciones ENOS neutral durante el trimestre junio-agosto de 2020. El Dipolo del Océano Índico (IOD, por sus siglas en inglés) también se encontraba en una condición cercana a la neutralidad en este período. Para el trimestre de octubre-diciembre de 2020, se pronostican que las Temperaturas en la Superficie del Mar en las regiones Niño 3.4 y Niño 3, que por lo general se utilizan para caracterizar las condiciones ENOS, estarán en condiciones de una La Niña débil.

En muchas partes del mundo como en los trópicos (excepto en el Pacífico central y oriental) y regiones extratropicales, se espera que la temperatura del aire pronosticada para octubre-diciembre de 2020 tenga influencias de la tendencia de anomalías positivas de la TSM. En estas regiones (con excepción del sur de Australia), los pronósticos de temperatura del aire se presentan por encima de lo normal, especialmente en las latitudes árticas.

En el Pacífico ecuatorial oriental las condiciones de temperatura superficial del mar coincidentes con una La Niña débil, en conjunto con el gradiente de TSM en el Pacífico occidental, es decir expectativas de tendencias positivas en esta región, pueden afectar la circulación atmosférica tropical suprayacente y el clima local. Además, una tendencia al calentamiento global también contribuye a las mayores probabilidades de temperaturas sobre lo normal de los pronósticos de Temperatura Superficial del Mar y temperatura del aire, comparándose con el período base climatológico centrado en 20 años en el pasado (1993-2009).

Se esperan condiciones de precipitación por debajo del promedio en el Pacífico ecuatorial al este de 150°E, y probabilidades de precipitación por encima de lo normal a lo largo de una banda estrecha justo al norte de la región ecuatorial, en el este Pacífico tropical y en el archipiélago de Indonesia central y occidental. Para estas regiones, las probabilidades de precipitación están probablemente asociadas con las anomalías de TSM de la región del Pacífico ecuatorial y su gradiente este-oeste, como por ejemplo las precipitaciones superiores a la media en gran parte del archipiélago de Indonesia. Otras condiciones pronosticadas indican precipitaciones por encima de lo normal en la región oriental de Australia, en las islas de Melanesia, en el sur de la América ecuatorial y en regiones del norte de América del Norte y Asia. Un cambio de las probabilidades hacia una precipitación por debajo de lo normal es esperado en la región sur de Sudamérica, Asia occidental, África ecuatorial y regiones del sur de Norteamérica.

Pronóstico de Temperatura Superficial del Aire (°C), OND 2020



Pronóstico de Precipitación (%), OND 2020

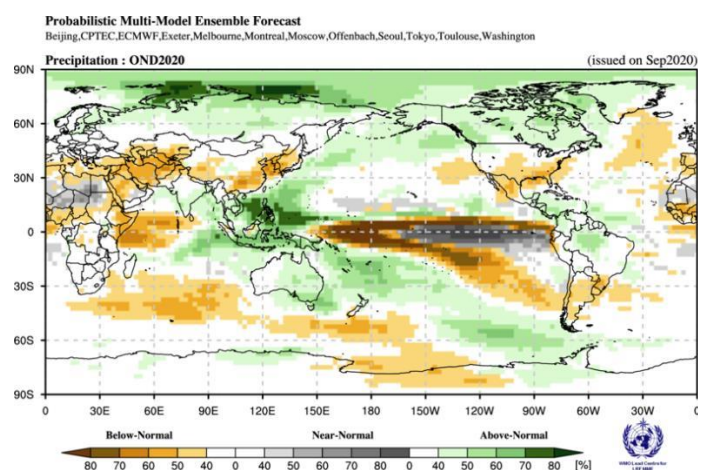


Figura 1. Pronóstico probabilístico de temperatura superficial del aire y precipitación para el trimestre octubre-noviembre-diciembre de 2020. La categoría de tercil con mayor probabilidad es indicada por las áreas sombreadas. Las categorías más probables para bajo lo normal, sobre lo normal y cerca de lo normal se muestran por los colores azules, rojos y grises, respectivamente para temperatura del aire (izquierda), y naranjas, verdes y grises, respectivamente, para precipitación (derecha). Las áreas en blanco indican probabilidades iguales para todas las categorías en ambos casos. El período base es 1993-2009.

Anomalia de Temperatura Superficial del Mar Observada (°C), JJA 2020
(Respecto al periodo 1981-2010)

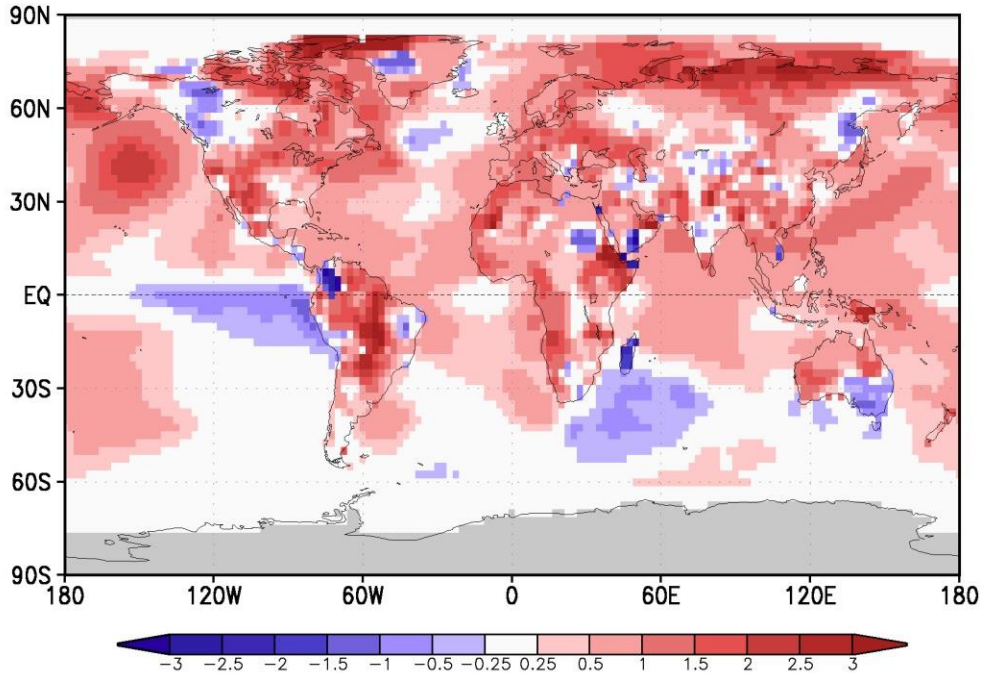


Figura 2. Anomalías de Temperatura Superficial del Mar observada para el trimestre junio-julio-agosto de 2020 relativas al periodo 1981-2010. (Fuente: U.S. Climate Prediction Center).

Anomalia de Precipitación Observada (mm/día), JJA 2020
(Respecto al periodo 1981-2010)

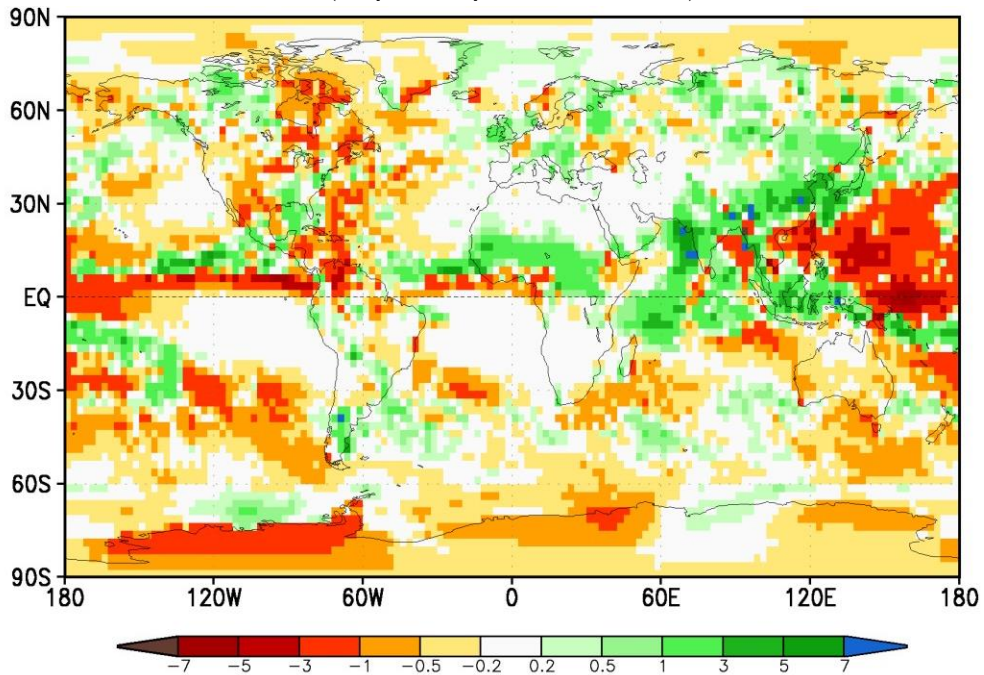


Figura 3. Anomalías de precipitación observada para el trimestre junio-julio-agosto de 2020 relativas al periodo 1981-2010. (Fuente: U.S. Climate Prediction Center).